

0. Allgemeines

$$\beta = g_m \cdot r_{be}$$

grundsätzlich: $g_m \gg g_{be} \gg g_{ce}$

$$F = \frac{As}{V} = \frac{s}{\Omega}, \quad H = \frac{Vs}{A} = \Omega s$$

Eingangsimpedanz

Ausgangsimpedanz

Emitterschaltung ohne CE:

sehr hoch

hoch

Emitterschaltung mit CE:

hoch

hoch

Kollektorschaltung:

hoch

niedrig

OPV

hoch

niedrig

$$i = C \cdot \frac{du}{dt}$$

$$u = \frac{1}{C} \cdot \int i \, dt$$

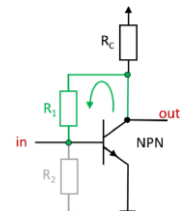
$$u = L \cdot \frac{di}{dt}$$

$$i = \frac{1}{L} \cdot \int u \, dt$$

1. Emitterschaltung

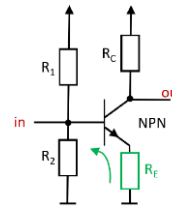
bei einer T-Erhöhung von 1°C erhöht sich I_C oder I_B um 6,5% → Verdoppelung bei $\Delta T = 16^\circ C$
→ Ziel: Spannung U_{BE} verkleinern wenn T steigt, damit I_C stabil bleibt

Mgl. 1: Spannungsgegenkopplung



U_{BE} sinkt bei steigendem I_C , da Teil der Ausgangsspannung über R_1 rückgekoppelt wird

Mgl. 2: Stromgegenkopplung



$$T\text{-Abhängigkeit: } \frac{\Delta I_C}{\Delta T \cdot I_C} \approx \frac{6,5\%}{^\circ C}$$

→ wenn R_E steigt, sinkt T-Abhängigkeit

Reihenfolge Synthese:

0. Transistor-Daten sind bekannt
1. I_C festlegen

2. DC-Analyse (Ziel: hohes z_{in}):

$$a. R_E > \frac{10}{g_m}$$

$$b. R_2 \leq \frac{U_B}{10 \cdot I_B} \text{ und } R_1 \leq \frac{V_{CC} - U_B}{11 \cdot I_B}$$

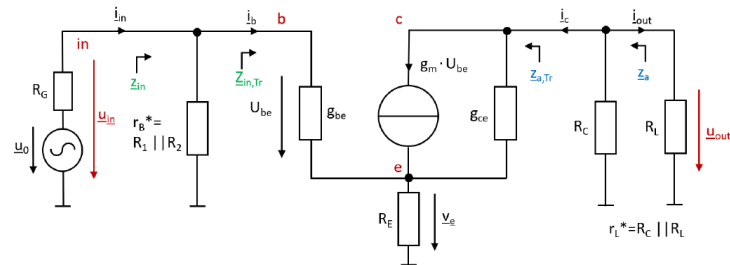
$$c. R_C = -\frac{a_{v0}}{g_m}$$

3. untere Grenzfrequenz wissen + dominanten C bestimmen

$$a. C_{k1} > \frac{1}{2\pi \cdot f_{3dB,u} \cdot (R_G + r_{in})}$$

$$b. C_{k2} > \frac{1}{2\pi \cdot 0,1 \cdot f_{3dB,u} \cdot (R_L + r_a)}$$

$$c. C_E > \frac{g_m}{2\pi \cdot 0,1 \cdot f_{3dB,u}}$$



1. DC-Analyse:

$$U_B = V_{DC} \cdot \frac{R_2}{R_1 + R_2}, \quad U_{RE} = U_B - 0,7 \, V, \quad I_C \approx I_E = \frac{U_{RE}}{R_E}, \quad I_B = \frac{I_C}{\beta}$$

2. AC-Kleinsignalparameter:

$$g_m = \frac{I_C}{U_T}, \quad g_{be} = \frac{I_B}{U_T} = \frac{1}{r_{be}}, \quad g_{ce} = \frac{I_C}{V_{AF}} = \frac{1}{r_{ce}}$$

$$C_{k1} > \frac{1}{2\pi \cdot f_{3dB,Ck1} \cdot (R_G + r_{in})}$$

$$C_{k2} > \frac{1}{2\pi \cdot f_{3dB,Ck2} \cdot (R_L + r_a)}$$

→ Entweder Eingangs- od. Ausgangshochpass dominant, Verschiebung untere Grenzfrequ. um Faktor 10 nach links

(wenn $f_{3dB,Ck1} = f_{3dB,Ck2}$ → HP 2. Ord. → $f_{3dB,Ck1} = f_{3dB,Ck2} \approx 0,64 \cdot f_{3dB}$)

ohne C_E

$$z_{in,Tr} = r_{be} + (\beta + 1) \cdot R_E \text{ (ohne } g_{ce} \text{ !)}$$

$$z_{in} = z_{in,Tr} || r_B^*$$

$$z_{a,Tr} = r_{ce} \cdot \left[1 + (R_E || (r_{be} + r_G^*)) \cdot \left(g_{ce} + \frac{g_m \cdot r_{be}}{r_{be} + r_G^*} \right) \right]$$

→ da $g_{ce} \ll \frac{g_m \cdot r_{be}}{r_{be} + r_G^*}$ bzw. $\beta \cdot r_{ce} \gg r_{be} + r_G^*$:

$$z_{a,Tr} \approx r_{ce} \cdot \left[1 + (R_E || (r_{be} + r_G^*)) \cdot \left(\frac{\beta}{r_{be} + r_G^*} \right) \right]$$

→ da $R_E \ll (r_{be} + r_G^*)$:

$$z_{a,Tr} \approx r_{ce} \cdot \left[1 + R_E \cdot g_m \cdot \frac{r_{be}}{r_{be} + r_G^*} \right]$$

→ da $r_G^* \ll r_{be}$:

$$z_{a,Tr} \approx r_{ce} \cdot (1 + R_E \cdot g_m)$$

$$z_a = z_{a,Tr} || R_C \approx R_C$$

$$a_v = -\frac{\frac{g_m}{g_m + g_{ce}} \left(\frac{1}{R_E} + g_m + g_{be} + g_{ce} \right) - (g_m + g_{be})}{\frac{g_{ce} + \frac{1}{r_L^*}}{g_m + g_{ce}} \left(\frac{1}{R_E} + g_m + g_{be} + g_{ce} \right) - g_{ce}}$$

→ da $g_m \gg g_{be} \gg g_{ce}$: $a_v \approx -\frac{\frac{1}{R_E}}{\frac{g_{ce} + \frac{1}{r_L^*}}{g_m} \cdot \frac{1}{R_E} + \frac{1}{r_L^*}}$

→ da $\frac{1}{r_L^*} \gg g_{ce}$: $a_v \approx \frac{-g_m \cdot r_L^*}{1 + g_m \cdot R_E}$

→ da $g_m \cdot R_E \gg 1$: $a_v \approx -\frac{r_L^*}{R_E}$

$$f_{3dB,Ck1} = \frac{1}{2\pi \cdot C_{k1} \cdot (R_G + r_{in})}$$

$$f_{3dB,Ck2} = \frac{1}{2\pi \cdot C_{k2} \cdot (R_L + r_a)}$$

3. Kollektorschaltung / Endstufe

A-Betrieb: $U_{out} \approx U_{in} - 0,7 \, V$

$$r_L^* = R_E || R_L || r_{ce}$$

$$z_{in,Tr} = r_{be} + (\beta + 1) \cdot r_L^*$$

$$z_{in} = z_{in,Tr} || R_1 || R_2$$

$$a_v = \frac{(g_{be} + g_m) \cdot r_L^*}{1 + (g_{be} + g_m) \cdot r_L^*} \approx \frac{g_m \cdot r_L^*}{1 + g_m \cdot r_L^*} \approx 1$$

$$z_{a,Tr} = \frac{r_{be} + r_G^*}{\beta + 1} \approx \frac{r_{be} + R_G}{\beta} = \frac{1}{g_m} + \frac{R_G}{\beta}$$

→ evtl. r_G^* inkl. R_1 u. R_2 berücksichtigen

$$z_a = z_{a,Tr} || R_E \approx z_{a,Tr}$$

mit C_E (z_{in} wird kleiner)

$$z_{in,Tr} = r_{be}$$

$$z_{in} = z_{in,Tr} || r_B^*$$

$$z_{a,Tr} = r_{ce}$$

$$z_a = z_{a,Tr} || R_C \approx R_C$$

$$a_v = -g_m \cdot (r_L^* || r_{ce})$$

→ da $r_L^* \ll r_{ce}$: $a_v \approx -g_m \cdot r_L^*$

$$\text{(Großsignal: } a_v = \frac{-g_m \cdot r_L^*}{1 + g_m \cdot (R_E || \frac{1}{j\omega \cdot C_E})}$$

$$\text{steigende Frequ.: } a_v = \frac{-g_m \cdot r_L^*}{1 + g_m \cdot \frac{1}{j\omega \cdot C_E}}$$

$$f_{3dB,Ck1} = \frac{1}{2\pi \cdot C_{k1} \cdot (R_G + r_{in})}$$

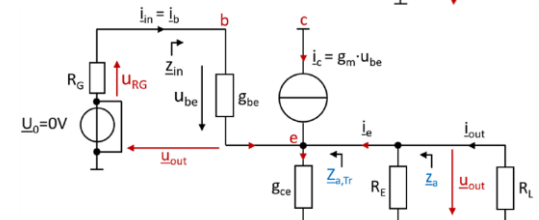
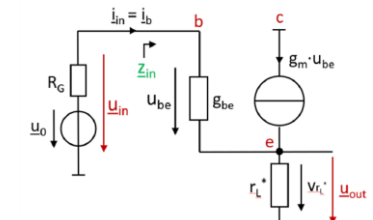
$$f_{3dB,Ck2} = \frac{1}{2\pi \cdot C_{k2} \cdot (R_L + r_a)}$$

$$f_{3dB,C_E} \approx \frac{g_m}{2\pi \cdot C_E}$$

→ höchster Wert ist untere Grenzfrequenz der Schaltung

Amplitudengang zeichnen:

1. Gerade im Bandpass einzeichnen
2. fallende Gerade 1. Ordnung zw. beiden Grenzfrequ.
3. fallende Gerade 2. Ordnung



Aussteuerbarkeit

nach oben bis: $V_{CC} - 0,7 V$ (da $U_{CE} \geq 0,7 V$ sein muss)

nach unten bis: $I_C \cdot (R_E || R_L)$

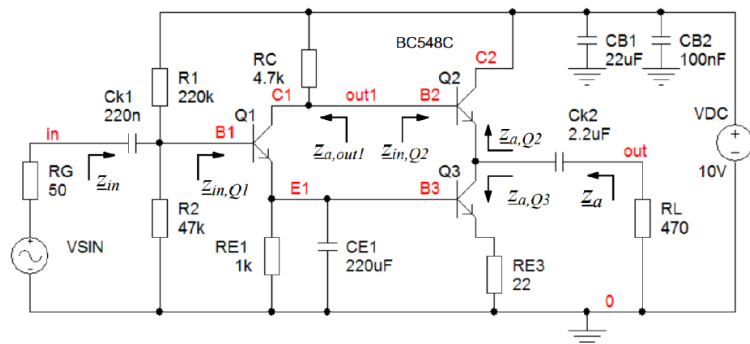
→ Betragsmäßig kleinster Wert zählt → **Problem**: untere Grenze von U_{RE} abhängig

→ Option 1: I_C erhöhen → Problem: höhere Verluste an R_E

→ Option 2: R_E durch hochohmige Stromquelle ersetzen → Emitterschaltung od. Stromspiegel

Emitterschaltung + Kollektorschaltung (nötig wenn Last kleiner als z_{a1})

für hohe Spannungsverstärkung (auf Seiten Emittersch.) muss $z_{in2} \gg z_{a1}$



$$\text{Stromeinstellung über } R_{E3} = \frac{U_{RE3}}{I_{C2}} = \frac{V_{B3} - 0,7V}{I_{C2}} = \frac{V_{B1} - 0,7V - 0,7V}{I_{C2}}$$

Wirkungsgrad

Leistungsbilanz: $P_{out} + P_V = P_{UB} + P_{in}$ Wirkungsgrad: $\eta = \frac{P_{out}}{P_{UB} + P_{in}} \approx \frac{P_{out}}{P_{UB}}$

Leistung am Verbraucher: $P_{out} = \frac{U_{out}^2}{2 \cdot R_L}$ Leistung der Stromquelle: $P_I = U_B \cdot I$

Leistung Spannungsquellen: $P_{UB+} = U_B \cdot I$ $P_{UB-} = U_B \cdot I$

Verlustleistung Transistor: $P_V = P_{UB+} + P_{UB-} + P_{in} - P_I - P_{out}$

→ bei Vernachlässigung P_{in} ergibt sich: $P_V = U_B \cdot I - \frac{U_{out}^2}{2 \cdot R_L}$

→ P_V wird maximal bei $U_{out} = 0 \rightarrow P_{V,max} = U_B \cdot I \rightarrow \eta = \frac{P_{out}}{P_{UB+} + P_{UB-}} = \frac{U_{out}^2}{4 \cdot R_L \cdot U_B \cdot I}$

→ Stromquelle max. aussteuerbar bis $I = \frac{U_B}{R_L} \rightarrow \eta = \frac{U_{out}^2}{4 \cdot U_B^2}$

→ **sehr niedrig!!** (typ. bei Klasse-A-Verstärkern max. 25%) → Lösung: Gegentakt-Endstufe

CCM (Continuous Conduction Mode): $I_L(t)$ stets $> 0A \rightarrow I_{L,mittel} > \frac{\Delta I_{L,pp}}{2}$

DCM (lückender Betrieb): $I_L(t)$ wird während T_{off} Null $\rightarrow I_{L,mittel} < \frac{\Delta I_{L,pp}}{2}$

Synchron DC-DC-Wandler: Diode durch MOSFET ersetzen $\rightarrow P_V$ geringer u. damit η besser
Effizienzbetrachtung

- je höher f_{CLK} , desto kleiner L und C_{out} möglich (Platzbedarf)
- je höher f_{CLK} , desto kleiner Welligkeiten (wenn L und C_{out} unverändert)
- je höher f_{CLK} , desto größer Verluste (MOSFETs, Diode, ESR_L , ESR_C) $\rightarrow \eta$ sinkt
- für hohen η : kleiner $R_{DS,on}$, kleiner ESR_L , schnelles Durchschalten MOSFET

Gegentakt-Endstufe (Klasse-B-Verstärker)

$a_V \approx 1$

AC-Analyse nicht geeignet!

$u_{out} \approx u_{in} \pm 0,7V$ (außer wenn $-0,7V < u_{in} < +0,7V \rightarrow$ Übernahmeverzerrung)

Voraussetzung: $|U_{B+/-}| \gg U_{BE} (\approx 0,7V) > U_{CE,sat} (typ. \approx 0,1V)$

Aussteuerbarkeit: $\hat{u}_{out,max} = |U_B \pm| - |U_{CE,sat}| \approx |U_B \pm|$

Großsignal-Eingangswiderstand: $R_{in} \approx R_L \cdot B$ (je für npn u. pnp; bei Übernahme: $R_{in} \rightarrow \infty$)

Großsignal-Ausgangswiderstand: $R_{out} \approx \frac{R_G}{B}$ (je für npn u. pnp; bei Übernahme: $R_{in} \rightarrow \infty$)

Leistungsberechnung: **nur wenn $U_{in} \gg 0,7V$ kann Übernahmehereich vernachlässigt werden!**

$$P_{out} = \frac{\hat{u}_{out}^2}{2 \cdot R_L}$$

$$P_{in} \approx \frac{P_{out}}{B} \quad (\text{Transistor-Verstärkungen müssen gleich sein!})$$

$$P_{UB+} = \frac{U_B \cdot \hat{u}_{out}}{\pi \cdot R_L} \rightarrow P_{UB\pm} = \frac{2 \cdot U_B \cdot \hat{u}_{out}}{\pi \cdot R_L}$$

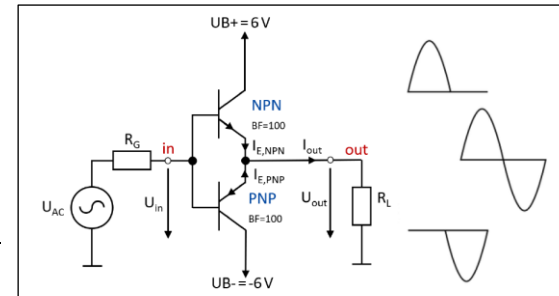
$$P_{V,npn} = P_{V,pnp} \approx 0,5 \cdot (P_{UB\pm} - P_{out})$$

$$= \frac{U_B \cdot \hat{u}_{out}}{\pi \cdot R_L} - \frac{\hat{u}_{out}^2}{4 \cdot R_L} \rightarrow \text{maximal bei } U_{out} = \frac{2 \cdot U_B}{\pi}$$

$$\rightarrow P_{V,npn,max} = \frac{U_B^2}{\pi^2 \cdot R_L}$$

$$\rightarrow \eta = \frac{P_{out}}{P_{UB+} + P_{UB-}} = \frac{\pi}{4} \cdot \frac{\hat{u}_{out}}{U_B}$$

(maximaler Wirkungsgrad = $\frac{\pi}{4} = 78\%$)



mögliche Lösung, um Übernahmeverzerrung zu vermeiden: Klasse AB $\rightarrow V_{bias}$ für $U_{BE} = 0,7V$

7. DC-DC-Wandler

Linear geregelte DC-DC-Wandler

Vorteil: keine Oberwellen im stationären Betr., kaum Störung auf U_{out} , einfache Implement.

Nachteil: Differenzspannung als Verlust, nur für kleine Leistungen, schlechter Wirkungsgrad

Getaktete DC-DC-Wandler: zB OPV als Integrierer mit R_p und Puls als u_{in}

Getaktete DC-DC-Wandler (Step-Down)

$D = \frac{T_{on}}{T_{CLK}} = \frac{U_{out}}{U_{in}}$ (nur gültig im **nicht-lückenden** Betrieb, da $U_{DS,on}$ u. $U_{F,D}$ vernachlässigbar!)

$$I_{L,mittel} = I_{out} = I_{RL} = \frac{U_{out}}{R_L}$$

$$\Delta I_{L,pp} (\leq 2 \cdot I_{L,mittel})$$

$$= \frac{U_{in} - U_{out}}{L} \cdot T_{on}$$

(je größer L bzw. f_{CLK} , desto geringer Welligkeit)

$$\rightarrow L \geq \frac{U_{in} - U_{out}}{\Delta I_{L,pp}} \cdot T_{on}$$

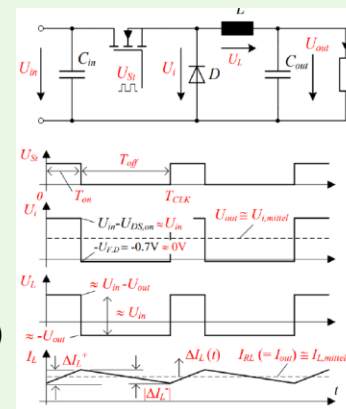
(typ. $\Delta I_{L,pp} = (0,5 \cdot 2) \cdot I_{out}$
($> 0,5$ damit L nicht zu groß))

$$\Delta U_{out,pp} = \frac{\Delta I_{L,pp}}{C_{out} \cdot 8 \cdot f_{CLK}}$$

(je größer f_{CLK} , desto kleiner muss C_{out} sein)

$$\rightarrow \Delta Q_{C,out} = \frac{1}{2} \cdot \frac{\Delta I_{L,pp}}{2} \cdot \frac{T_{CLK}}{2} = \frac{\Delta I_{L,pp}}{8 \cdot f_{CLK}}$$

$$\rightarrow C_{out} > \frac{\Delta I_{L,pp}}{\Delta U_{out,pp} \cdot 8 \cdot f_{CLK}}$$



• Transistor und Diode werden als ideal angenommen. Für den Spulenstrom gilt allgemein:
 $dI_L/dt = U_L/L$

• **Transistor ein:**
 $U_i \approx U_{in}$: U_{out} kann aufgrund des Kondensators C_{out} näherungsweise als konstant angenommen werden
→ Spannung über der Induktivität $U_L \approx U_{in} - U_{out}$ ist konstant;
mit $dt = \Delta t = t_{on}$ und $dI_L = \Delta I_L^+$ folgt:
 $\Delta I_L^+ \approx (U_{in} - U_{out})/L \cdot T_{on}$

• **Transistor aus:**
 $U_i \approx -0,7V \approx 0V$: I_L fließt über die Freilaufdiode $U_L \approx -U_{out}$ ist konstant.
mit $dt = \Delta t = t_{off}$ und $dI_L = \Delta I_L^-$ folgt:
 $\Delta I_L^- \approx -U_{out}/L \cdot T_{off}$

4. Operationsverstärker

Grundlagen

Vorteile: hochohmiger Eingang u. niederohmiger Ausgang;
als IC; geringer Platzbedarf
Nachteile: Bandbreite begrenzt; hohes Rauschen bei hohen Frequ.; nicht als Schalter geeignet

Differenzstufe

Voraussetzung:

Q1 u. Q2 sowie RC1 und RC2 ideal identisch

Differential Mode: $U_{ID} = U_{in1} - U_{in2}$

Differenzverstärkung: $a_{VD} = \frac{u_{out1} - u_{out2}}{u_{in1} - u_{in2}} = -g_m \cdot R_C$

Eingangswiderstand: $Z_{in,D} = 2 \cdot r_{be}$

(Herleitung über Knoten C1 u. C2)

(da $r_i \rightarrow \infty$ fließt dort kein Strom)

Common Mode: $U_{CM} = \frac{U_{in1} + U_{in2}}{2}$

Gleichtaktverstärkung: $a_{VC} = -\frac{g_m \cdot R_{C1}}{1 + g_m \cdot 2 \cdot r_i}$ (da $r_i \rightarrow \infty \rightarrow a_{VC} \rightarrow 0$)

Eingangswiderstand: $Z_{in,C} = r_{be} + (\beta + 1) \cdot 2 \cdot r_i$

Qualität der Gleichtaktsignalunterdrückung: $CMRR[dB] = 20 \cdot \log\left(\frac{A_{VD}}{A_{VC}}\right)$

Mittlere Verstärkerstufe

kleiner Signal-Strom Eingangsstufe ΔI_{C1} in hohe Ausgangsspannung umgesetzt: $\Delta U_2 = a_{V2} \cdot \Delta I_{C1}$

C für interne Frequenzgang-Kompensation (damit g irgendwann < 1 wird), v.a. Einstellung dominanter f_{3dB} der U-Verstärkung \rightarrow garantiert Stabilität bei externer Gegenkopplung

Endstufe

meist Gegentakt-Endstufe; $a_v \approx 1$; sehr kleiner Ausgangswiderstand

Gegenkopplung

im Linear-Bereich: $U_{out} = V_{ud} \cdot U_{ID}$ (da V_{ud} sehr hoch, nur mit Gegenkopplung realisierbar)

OPVs zeigen meistens PT1-Verhalten mit sehr kleiner Eckfrequenz f_1

$V_{ud}(f) = \frac{V_{ud}}{1 + jf/f_1}$ Transitfrequenz f_T = Frequenz, bei der Verstärkung auf 1 abgefallen

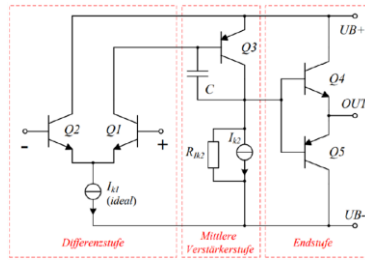
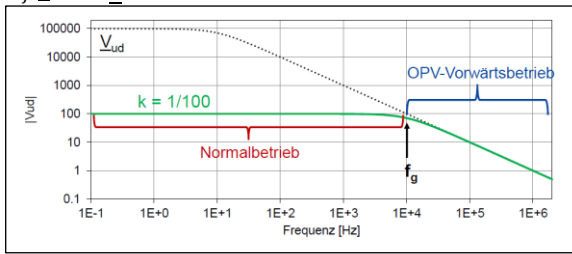
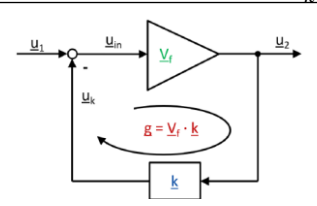
ist

nur allgemein und für nicht-invertierend gültig:

Übertragungsfunktion:

$$H(j\omega) = \frac{u_2}{u_1} = \frac{u_{in} \cdot V_f}{u_{in} + u_{in} \cdot V_f \cdot k} = \frac{V_f}{1 + V_f \cdot k} = \frac{V_f}{1 + g} \quad (\text{mit } V_f = V_{ud})$$

\rightarrow wenn $V_f \gg 1$: $H(j\omega) \approx \frac{1}{k}$



Grenzfall: $g = k \cdot V_{ud} = 1 \rightarrow$ definiert Betriebsgrenzfrequenz f_g (je nach k unterschiedl!)

$\rightarrow GBW = V_{ud} \cdot f_1 = \frac{1}{k} \cdot f_g = f_T$ (nur bei $k = 1 \rightarrow f_g = f_T$)

$\rightarrow f_g = |k(f_g)| \cdot GBW$

allgemein:

$$k = \frac{Z_1}{Z_1 + Z_2}$$

(Z_2 ist Impedanz im Rückkopplungspfad!)

	nicht-invertierend	invertierend
$a_v = H(j\omega)$	$a_v^+ = + \frac{V_{ud}}{1 + k \cdot V_{ud}}$	$a_v^- = - \frac{V_{ud} \cdot (1 - k)}{1 + k \cdot V_{ud}}$
Normalbetr. ($f < f_g$): $ g = k \cdot V_{ud} \gg 1$	$a_v^+ = \frac{1}{k} = \frac{Z_1 + Z_2}{Z_1}$	$a_v^- = \frac{-(1 - k)}{k} = - \frac{Z_2}{Z_1}$
Vorwärtsbetr. ($f > f_g$): $ g = k \cdot V_{ud} \ll 1$	$a_v^+ = V_{ud}$	$a_v^- = -V_{ud} \cdot (1 - k)$
Z_{in}	$= Z_{id} \cdot (1 + k \cdot V_{ud}) \rightarrow \infty$	$= Z_1$
Z_a	$= (Z_1 + Z_2) \parallel \frac{Z_{a,OPV}}{1 + k \cdot V_{ud}}$	$= (Z_1 + Z_2) \parallel \frac{Z_{a,OPV}}{1 + k \cdot V_{ud}}$

Stabilität: offene Schleifenverstärk. g betrachten \rightarrow bei Phasendrehung $> 180^\circ \rightarrow$ Mitkopplung

Stabilitätsuntersuchung: Durchtrittsfrequenz f_D (wo $g = 1$) ermitteln, dort muss $\varphi > -180^\circ$

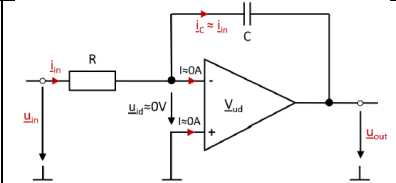
robust stabil = $\varphi_R > 45^\circ$ schneller OPV kann schlecht sein da Gefahr Instabilität durch Phasendrehung

Integrierer

Frequenzbereich: $a_v = - \frac{1}{j\omega RC}$

Zeitbereich:

$$u_{out}(t) = - \frac{1}{RC} \cdot \int_0^t u_{in}(t) dt + u_{out}(t = 0)$$



Integrierer mit Parallelwiderstand

\rightarrow anpassen der Integrationszeit, sodass OPV nicht so schnell in Begrenzung geht
 \rightarrow bei kleinen Frequenzen: invert. Verstärk.

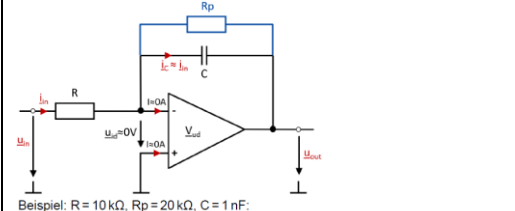
$$a_v = - \frac{R_p}{1 + j\omega R_p C}$$

$$\text{Duty-Cycle: } D = \frac{U_{out,DC}}{a_v \cdot \hat{u}_{in}}$$

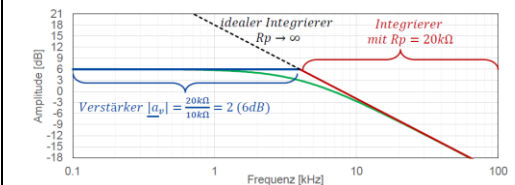
Schaltfrequenz muss größer als $f_{3dB} = \frac{1}{2\pi R_p C}$

Ausgangsrippel ΔU_{out} über Integral u. Flächeninhalt berechenbar

für hohe Frequenzen: $k = 1$



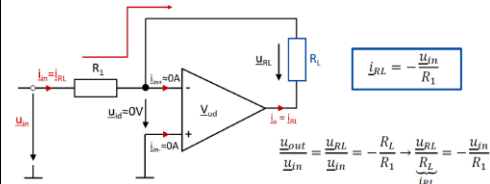
Beispiel: $R = 10 \text{ k}\Omega$, $R_p = 20 \text{ k}\Omega$, $C = 1 \text{ nF}$:



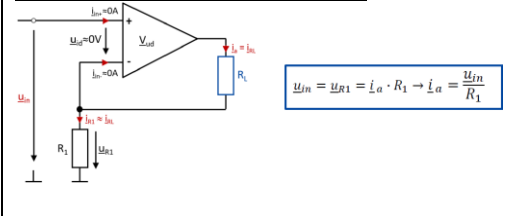
\rightarrow Tiefpass mit Grenzfrequenz $f_{3dB} = \frac{1}{2\pi R_p C} = \frac{1}{2\pi \cdot 20 \text{ k}\Omega \cdot 1 \text{ nF}} = 7,96 \text{ kHz}$

U-I-Wandler (invertierend)

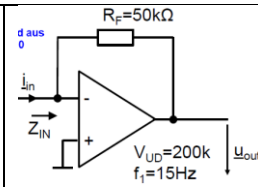
Nachteil: Quelle wird mit Laststrom belastet



U-I-Wandler (nicht-invertierend)



$$\begin{aligned} \text{Transimpedanz } r_m &= \frac{u_{out}}{i_{in}} = \frac{u_{out}}{-\frac{u_{id} - u_{out}}{R_F}} = -\frac{R_F}{1 + \frac{1}{\beta_{ud}}} \\ Z_{in} &= \frac{u_{in}}{i_{in}} = \frac{-u_{id}}{-\frac{u_{id} - u_{out}}{R_F}} = \frac{R_F}{1 + \beta_{ud}} = \frac{R_F}{1 + \frac{f}{f_{\beta}}} \approx j \cdot \frac{R_F \cdot f}{\beta_{ud} \cdot f_{\beta}} = j \cdot \frac{R_F \cdot f}{GBW} \end{aligned}$$



Vorteile:

- kleiner Eingangswiderstand \rightarrow große Bandbreite
- Fotostrom fließt durch $R_F \rightarrow$ hohe Empfindlichkeit

OPV: Schaltungssynthese

1. Wenn a_V gegeben, Z_1 u. Z_2 bestimmen (zw. $1k\Omega$ u. $100k\Omega$, um Ruhestrome zu minimieren)
2. Eingangsimpedanz prüfen (invertierende Schaltung für hohes Z_{in} nicht so gut)
3. Bandbreite prüfen (invertierend $<$ nicht-invert., da u_{in} durch Spannungsteiler minimiert)
4. Offset-Fehler prüfen = Ruhestromkompensation = gleiches φ an beiden Eingängen:
 $R_3 = R_1 || R_2 \rightarrow$ sollte möglichst gering sein!

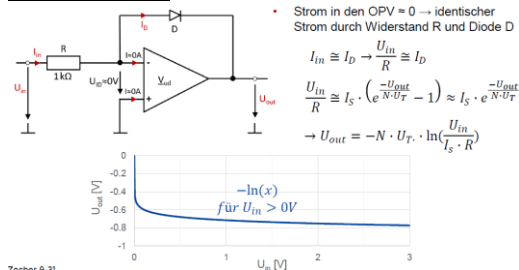
Nicht-lineare OPV-Schaltungen (keine AC-Analyse, da nur Großsignalverhalten relevant)

→ nicht mehr durch lineare ÜFK beschreibbar

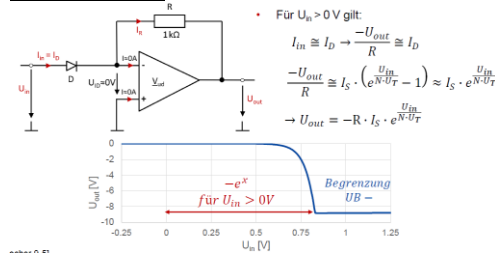
→ Variante 1: OPV in linearem Bereich (Gegenkopplung, Prinzip d. virtuellen Masse), Rückkopplung nicht linear (zB Diode)

→ Variante 2: OPV nicht mehr linear, sondern in Begrenzung (Komparator, Schmitt-Trigger)

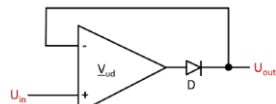
Logarithmierer



Exponentierer



Aktiver Gleichrichter 1

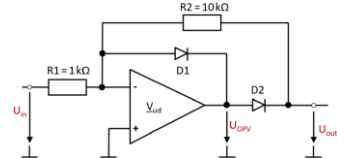


Nachteil:

OPV bei negativer Halbwelle
übersteuert

→ wenig Bandbreite/schlechtes Zeitverhalten

Aktiver Gleichrichter 2



neg. U_{in} : invertierender U-U mit $a_V = -\frac{R_2}{R_1}$

pos. U_{in} : D2 sperrt $\rightarrow U_{out} = 0V$

Vorteil: mehr Bandbreite, da n. übersteuert

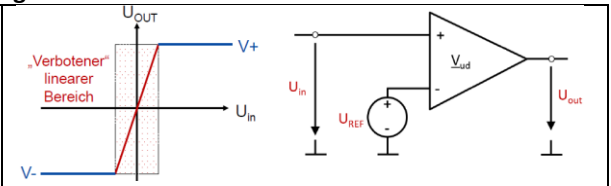
Nachteil: invertierend; 2 Dioden nötig; $z_{in} = R_1$ geringer

Fortsetzung: Nicht-lineare OPV-Schaltungen

Komparator

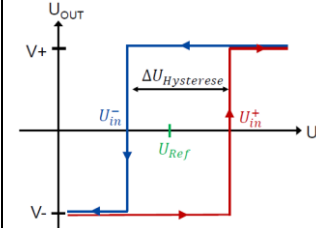
Vergleich U_{in} mit U_{ref}
wenn $U_{in} > U_{ref} \rightarrow V +$

Problem: falls U_{in} linearen Bereich langsam durchläuft u. verrauscht ist, unplanmäßiges hin- u. herschalten

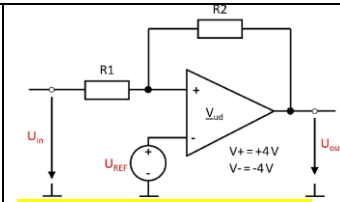


Schmitt-Trigger

unplanmäßiges hin- u. herschalten wird durch Hysterese vermieden



→ realisiert durch Mitkopplung



$$\begin{aligned} U_{in}^+ &= \frac{U_{Ref} \cdot (R_1 + R_2)}{R_2} - \frac{V^- \cdot R_1}{R_2} \\ U_{in}^- &= \frac{U_{Ref} \cdot (R_1 + R_2)}{R_2} - \frac{V^+ \cdot R_1}{R_2} \\ \Delta U_{Hysteresis} &= U_{in}^+ - U_{in}^- = \frac{(V^+ - V^-) \cdot R_1}{R_2} \end{aligned}$$

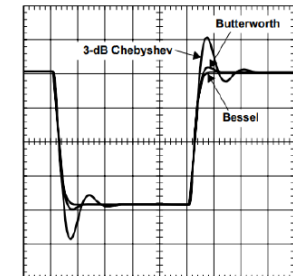
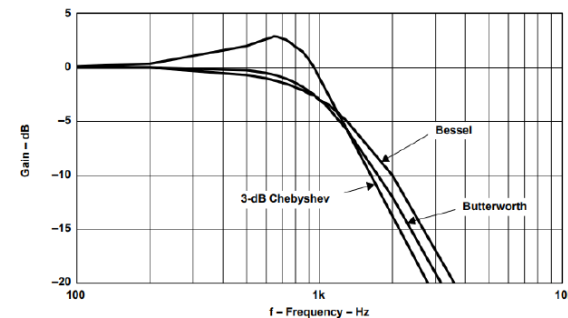
Achtung! OPV \neq Komparator:

Komp. kennt nur high u. low an Ausgang, keine Frequenzkompensation (C in mittlerer Stufe) für hohe Flankensteilheit, daher nicht mit Gegenkopplung betreibbar!

OPVs sind für Gegenkopplung ausgelegt, bei Betrieb ohne Gegenkopplung langsame Schaltzeiten u. erhöhter Stromverbrauch

5. Filter

Beispiel Tiefpass 2. Ordnung



DB = Durchlassbereich, SB = Sperrbereich

Bessel: flacher Übergang DB zu SB, dafür linearer Phasengang im DB → geringe Phasenverzerrung

Butterworth: mäßig steiler Übergang DB zu SB, maximal flacher Amplitudengang im DB, schwach schwingende Sprungantwort (Güte = 0,7)

Tschebyscheff: sehr steiler Übergang DB zu SB, dafür stark schwingende Sprungantwort (Resonanzüberhöhung)

Normalformen jeder passive RC-Filter 1. Ord. hat Güte = 0,5, ab 2. Ord. < 0,5

Tiefpass 1. Ord.: $H_{TP1}(\omega/f) = \frac{K_P}{1+j\omega\tau_1} = \frac{K_P}{1+j\frac{f}{f_c}}$ (mit K_P =Verstärk. bei $f = 0\text{Hz}$, f_c = charakt. Fr.)

TP 2. Ord.: $H_{TP2}(\omega/f) = \frac{K_P}{1+j\omega\tau_1+(j\omega\tau_2)^2} = \frac{K_P}{1+\frac{1}{Q}\cdot j\frac{f}{f_c}+(j\frac{f}{f_c})^2}$ (Q beschreibt Reson.überhöh. @ f_c)

→ Transformation TP-HP durch Spiegelung Frequenzgang an f_c u. Ersetzen $j\omega$ durch $\frac{1}{j\omega}$ in ÜFK

HP 1. Ord.: $H_{HP1}(\omega/f) = \frac{K_P}{1+\frac{1}{j\omega\tau_1}} = \frac{K_P \cdot j\omega\tau_1}{1+j\omega\tau_1} = \frac{K_P}{1+j\frac{f}{f_c}}$ (mit K_P =Verstärk. bei $f \rightarrow \infty$)

HP 2. Ord.: $H_{HP2}(f) = \frac{K_P}{1+\frac{1}{Q}\frac{f_c}{jf}+(\frac{f_c}{jf})^2} = \frac{K_P \cdot (j\frac{f}{f_c})^2}{1+\frac{1}{Q}j\frac{f}{f_c}+(j\frac{f}{f_c})^2}$ (Q beschreibt Reson.überhöh. @ f_c)

für HP/TP 2. Ordnung gilt:

Überhöhung bei Resonanzfrequenz: $|H_{HP2,TP2}(f_c)| = K_P \cdot Q$

Phase bei Resonanzfrequenz: HP2: +90°, TP2: -90°

Zusammenhang f_{3dB} u. f_c :

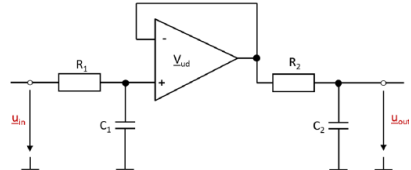
$$\text{TP2: } \frac{f_{3dB}}{f_c} = \sqrt{1 + \left(\frac{1}{2 \cdot Q^2} - 1\right)^2 - \left(\frac{1}{2 \cdot Q^2} - 1\right)} \quad \text{HP2: } \frac{f_{3dB}}{f_c} = \left(\sqrt{1 + \left(\frac{1}{2 \cdot Q^2} - 1\right)^2 - \left(\frac{1}{2 \cdot Q^2} - 1\right)} \right)^{-1}$$

Aktive Filter (idR nötig für < 1 MHz)

Hintergrund: TP2 durch 2x RC-TP in Reihe → Belastung des ersten TP durch zweiten

→ $R_2 \gg R_1$ wäre Lösung, Schaltung allerdings schnell sehr hochohmig

→ besser: OPV als Impedanzwandler dazwischen



→ Problem: **nur Güte < 0.5 möglich**, da keine conj. komplexen Polpaare möglich

TP Multiple Feedback (MFB) (= 2. Ordnung)

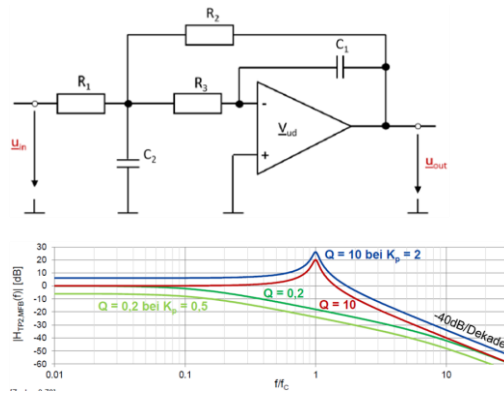
$$K_P = -\frac{R_2}{R_1}$$

$$Q = \frac{1}{C_1 \cdot (R_3 + R_2 - K_P \cdot R_3)}$$

$$f_c = \frac{1}{2\pi \cdot \sqrt{R_3 \cdot R_2 \cdot C_1 \cdot C_2}}$$

$K_P = 1$: Sallen-Key besser, da sehr exakt 1

$K_P = 10$: MFB besser, da Güte wenig Toleranz



TP Sallen-Key (= 2. Ordnung)

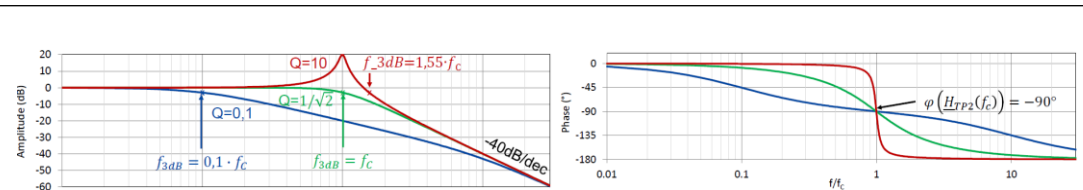
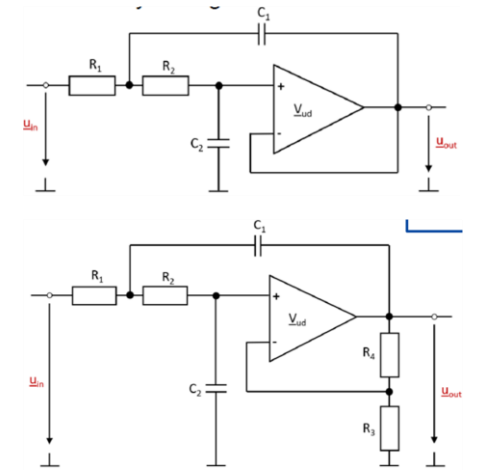
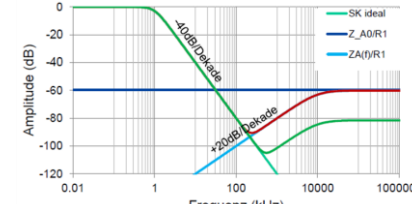
$K_P = 1$ (Bild oben)

$K_P = 1 + \frac{R_4}{R_3}$ (Bild unten)

$$Q = \frac{\sqrt{R_1 \cdot R_2 \cdot C_1 \cdot C_2}}{R_1 \cdot (C_2 - (K_P - 1) \cdot C_1) + R_2 \cdot C_2}$$
 (Bild oben: mit $K_P = 1$)

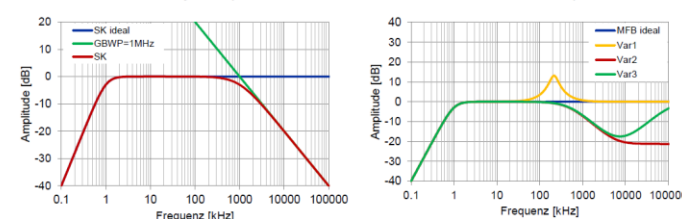
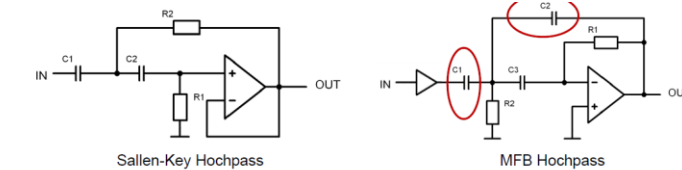
$$f_c = \frac{1}{2\pi \cdot \sqrt{R_1 \cdot R_2 \cdot C_1 \cdot C_2}}$$

hohe Frequenzen: C's als Kurzschluss → $\frac{U_{out}}{U_{in}} \approx \frac{Z_a}{R_1}$



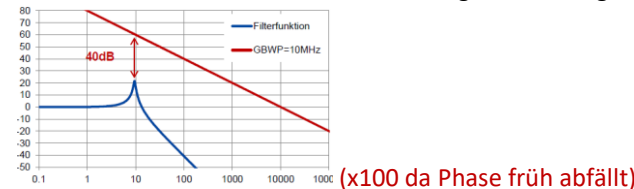
HP Sallen-Key / MFB

→ R und C vertauschen



Aktive Filter höherer Ordnung (Kaskadierung!)

Filter n-ter Ord. wird in conj. komplexe Polpaare aufgeteilt, welche dann mit Sallen-Key od. MFB realisiert werden → n/2 Filterstufen nötig Notwendiges GBW: $GBW > 100 \cdot Q \cdot K_P \cdot f_{c_Filter}$



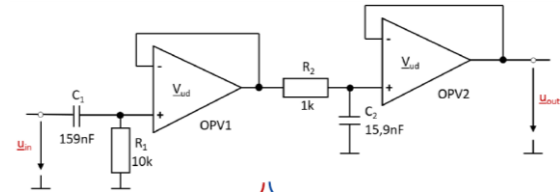
Aktiver Bandpass-Filter (immer 2./4./6./... Ordnung!)

Kaskadierung von HP u. TP: $H_{BP}(f) = H_{HP}(f) \cdot H_{TP}(f)$

Mittenfrequenz: $f_m (= f_c) = \sqrt{f_{3dB,O} \cdot f_{3dB,U}}$ (geometr. AVG)

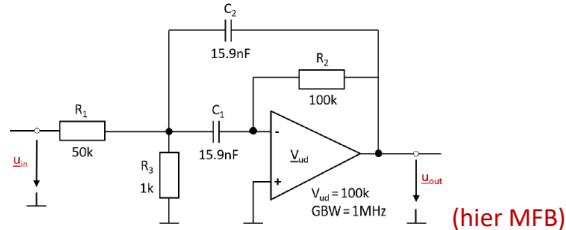
Güte: $Q = \frac{f_m}{B} = \frac{f_m}{f_{3dB,O} - f_{3dB,U}}$

einfache Version mit $Q < 0,5$:



$\varphi(f_m) = 0^\circ$

für $Q > 0,5$ Sallen-Key- od. MFB-Konfiguration nötig:



$\varphi(f_m) = -180^\circ$

$$\text{ÜFK: } H_{BP2}(f) = \frac{H_m \cdot \frac{j \cdot f}{f_m}}{1 + \frac{j \cdot f}{f_m} + \left(\frac{j \cdot f}{f_m}\right)^2}$$

$$f_m = \frac{1}{2\pi \cdot \sqrt{(R_1 \parallel R_3) \cdot C_1 \cdot R_2 \cdot C_2}}$$

Verstärkung bei f_m : $H_m = -\frac{R_2}{2 \cdot R_1}$

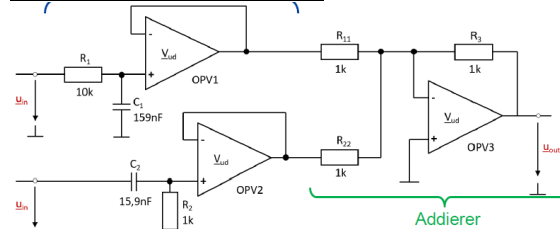
$Q = \frac{f_m}{B} = f_m \cdot \pi \cdot R_2 \cdot C$ (mit $C = C_1 = C_2$)

Aktive Bandsperre → Addition: $H_{BP}(f) = H_{HP}(f) + H_{TP}(f)$

Mittenfrequenz: $f_m (= f_c) = \sqrt{f_{3dB,O} \cdot f_{3dB,U}}$ (geometr. AVG)

Güte: $Q = \frac{f_m}{B} = \frac{f_m}{f_{3dB,O} - f_{3dB,U}}$

einfache Version mit $Q < 0,2$:

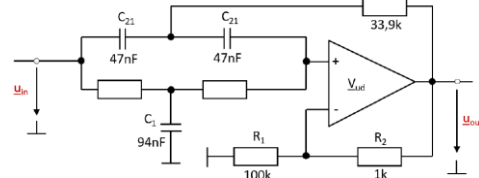


$\varphi(f_m) = +180^\circ$

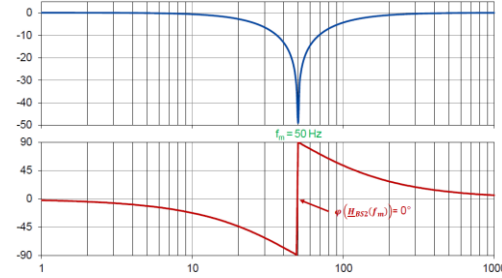
..Fortsetzung Aktive Bandsperre

für $Q > 0,5$ Sallen-Key- od. MFB-Konfiguration nötig

Unterdrückung einzelner Frequenzen → Notch-Filter:
rückgegriffen:

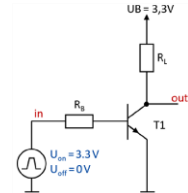


$\varphi(f_m) = 0^\circ$



6. Transistor als Schalter

mit BJT



$I_{C,normal} > I_{C,\ddot{u}}$!!!

Sättigungsbereich beginnt wenn $U_{BC} > 0,6V \rightarrow$

$U_{CE,sat} = 0,1V$

Vorteil: Transistor sehr niederohmig, da $U_{CE,on} \approx 0V$

Übersteuerung:

$$\ddot{u} = \frac{I_{C,normal}}{I_{C,\ddot{u}}} = \frac{I_{B,normal} \cdot BF}{\frac{U_B}{R_L}} = \frac{\frac{U_{on}=0,7V}{R_B} \cdot BF}{\frac{U_B}{R_L}} \quad (2..6)$$

Synthese: $\ddot{u} \rightarrow I_{C,\ddot{u}} \rightarrow I_{B,\ddot{u}} \rightarrow R_B$

$$\rightarrow R_{on} = \frac{U_{CE,on}}{I_{C,on}} = \frac{U_{CE,sat}}{\ddot{u} \cdot I_{C,\ddot{u}}}$$

Verkürzung Schaltzeit:

- U_{off} negativ statt 0V

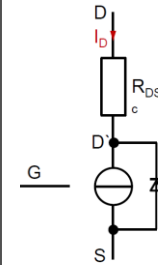
- Diode parallel zu R_B (Anode Richtung Basis)

(schnelleres Ausräumen v. Überschuss-LT)

- Miller-Effekt: Kondensator über R_B

mit MOSFET

Kleinsignal-ESB/MOSFET-Betriebsarten:



• Vorwärtsbetrieb $U_{DS} \geq 0V$:

1. Sperrbetrieb („OFF“): $U_{GS} < U_{th}$

$$I_D = 0$$

2. Linear- Ohm'scher Bereich („ON“): $U_{DS} < U_{DS,sat} (= U_{GS} - U_{th})$

$$I_D \approx \beta_n \cdot U_{GS} \cdot (U_{GS} - U_{th})^2$$

3. Sättigungsbereich $U_{DS} \geq U_{DS,sat} (= U_{GS} - U_{th})$:

$$I_D = I_{D,sat} = (\beta_n/2) \cdot (U_{GS} - U_{th})^2$$

• Rückwärtsbetrieb $U_{DS} < 0V$ (Body-Diode aktiv):

$$-I_D = I_{D,reverse}$$

$$R_{DS,on} \approx R_{CH} + R_{DS,etc} = \frac{1}{\beta_n \cdot (U_{GS} - U_{th})} + R_{DS,etc} \quad I_{D,on} \approx \frac{U_B}{R_L}$$

$$U_{DS,on} = R_{DS,on} \cdot I_{D,on} \quad P_{V,on} = P_{V,stat} = I_{D,on}^2 \cdot R_{DS,on} \quad P_{V,off} \approx 0$$

Schaltverhalten:

Bereich 1: C_{GS} aufladen (Totzeit – 2,5nC)

Bereich 2: C_{GD} entladen (6,5nC)

Bereich 3: C_{GS} weiter aufladen bis $R_{DS,on}$ minimal (22nC)

Stromquelle: Einschaltzeit $t_{on} = \frac{\Delta Q_G}{I_G} = \frac{22nC}{I_G}$

Spannungsquelle mit R_G : $t_{on} = t_{on,delay} + t_r \quad t_{off} = t_{off,delay} + t_f$

$$E_{on} = 0,5 \cdot U_{DS,off} \cdot I_{D,on} \cdot t_r \quad E_{off} = 0,5 \cdot U_{DS,off} \cdot I_{D,on} \cdot t_f$$

$$P_{V,dyn} = \frac{E_{on} + E_{off}}{T} \quad P_{V,stat} = D \cdot I_{D,on}^2 \cdot R_{DS,on} \quad P_{in} = \frac{U_{in}^+ \cdot Q_G(U_{in}^+)}{T}$$

$$P_{RL} = D \cdot I_{D,on}^2 \cdot R_L \quad \text{Wirkungsgrad: } \eta = \frac{P_{RL}}{P_{RL} + P_{V,dyn} + P_{V,stat} + P_{in}}$$

Fazit: P_V prop. zu f ; je geringer R_G , desto schneller t_{on}/t_{off} u. desto geringer P_V